

東京都立大学大学院 学生員 ○時田 秀往
東京都立大学 正員 山崎 淳

1 まえがき

フラットスラブ構造等の版部材に、他の構造部材が剛結されている部分において、接合部から版に、剪断力とモーメントが作用すると、接合部近傍の版の垂直断面の応力状態は、曲げモーメント、面外剪断力、及びねじりモーメントが、複合したものとなる。したしながら、このような鉄筋コンクリート版に、押抜き剪断力とモーメントが、作用する場合の強度特性を明らかにする為の基礎的知識は、必ずしも明白にはない。そこで、今回、未知の点が多い、面外剪断力及び、ねじりがそれぞれ卓越するような、特殊な鉄筋コンクリート版を作り、その版の垂直断面での強度特性を調べる為の実験を行った。

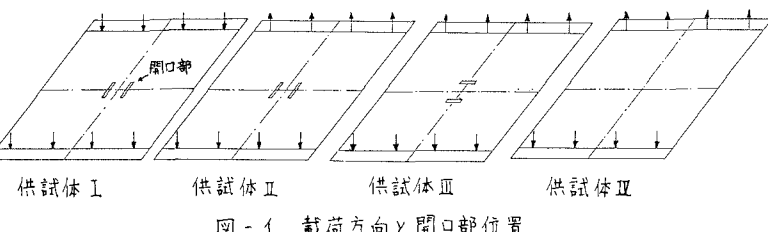
2 実験方法

供試体は、寸法 10×14

0×140cmで、図-1の供試体I, II, IIIは、面外剪断力と曲げモーメントが卓越し、ねじりモーメントの影響

し、ぬじりモーメントの影響を小さくするため、又は、ぬじりモーメントが卓越し、曲

げモーメントの影響が小さくなるように、2ヶ所に開口部を設けて、版と固定部が向かい合、た2面のみで、接合するようにな、て、いる。また、供試体Ⅳは、供試体ⅢとⅣを足し合わせたものと仮定して、無開口なものを作成した。更に、配筋は図-2を基本とし、破綻部の鉄筋の位置は、開口部位置によ、て、多少変化するものとする。図-5は、開口部を設けた時の接合部付近の配筋図である。またコンクリートの圧



四-1 載荷方向と開口部位

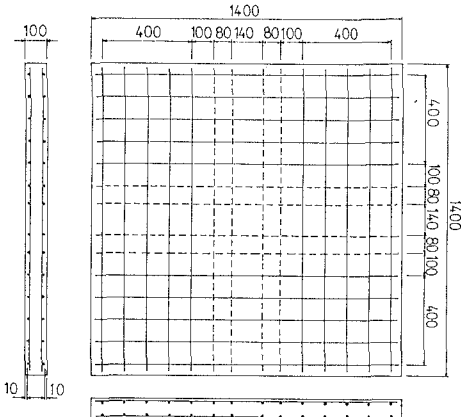


圖-2 配筋圖

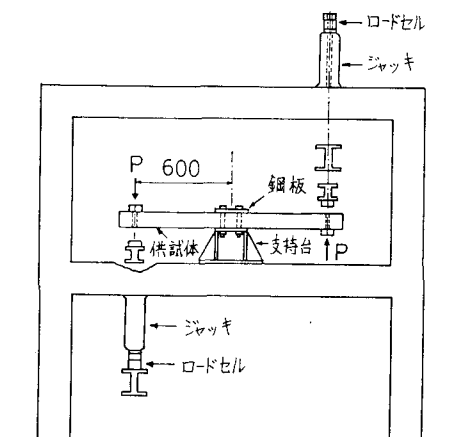


圖-3 載荷裝置正面圖

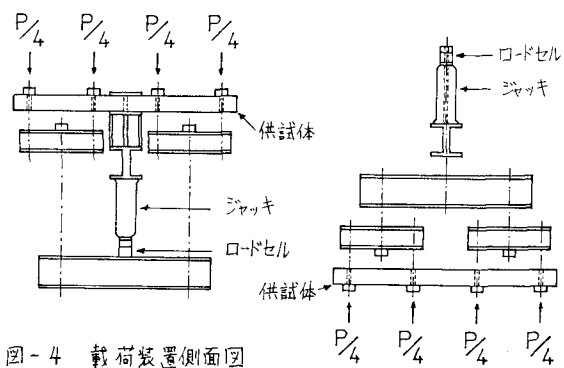


図-4 載荷装置側面図

縮強度は、 180 kg/cm^2 位であり、鉄筋は全て D 10 (降伏点 3900 kg/cm^2) を用いた。そして、版中心の固定部は、寸法 $2 \times 20 \times 20 \text{ cm}$ の鋼板を介し、高張力ボルトで、支持台に締め付けた。載荷装置は、図-3 及び図-4 であり、中心部を固定し、供試体の端部に載荷した。そして、図-4 に示してあるように、開口部と載荷方向の組み合せによって、主として、面外剪断力と曲げモーメント、又は、ねじりモーメントを生じせしめるようにした。

3 実験結果及び考察

各々の供試体の耐力の実験結果は、表-1 に示す通りである。実測モーメントは、荷重 P に、モーメントアーム長を掛けたものである。供試体 I, II の局部的押抜き剪断強度の計算値は、ACI 規準(11.2.4節)を応用し、算定断面を図-6 のように、接合部 $\pm 5d/2$ 離れた所と仮定し、破壊時の剪断応力を、 $4\sqrt{f_c} (\text{psi})$ と仮定して計算した。また、供試体 III については、算定断面を、接合部 $\pm 5d/2$ の所と仮定し、この断面と等断面を持つ独立した梁と仮定し、ACI 規準(11.3.6節)により、公称ねじり剪断応力を $4\sqrt{f_c} (\text{psi})$ として計算した。次に供試体 IV は、同じく算定断面を $d/2$ 離れた所とし、ACI 規準(11.2.4節)を用いて計算した。

以上の結果より、まず、表-1 から、供試体 I の剪断耐力は、ACI 規準の計算方法で求めたものと、かなり一致するものと思われる。また、供試体 II の剪断耐力も、ほぼ一致した値となるが、これは、載荷方法の特殊性より、仮定した剪断力が、接合部に生じているかどうか明白でないので、確認は出来ない。次に、供試体 III のねじり耐力は、ねじりの耐力機構が不明であり、実測値の方が数段大きくなっている。最後に、供試体 IV は、計算値が、実測値より下まわった。これは、ACI 規準の計算式が、押抜き剪断とねじりモーメントを複合した場合のものであり、今回の実験が、ねじりだけを加えた特別の場合であつたためかもしれない。また、供試体 IV は、供試体 II と III を加え合わせたものと仮定したのであるが、実際には、この 2 つの供試体の耐力の合計よりも、小さな値となる。つまり、図-6を見ると、荷重たわみ曲線は、供試体 II に近いものになっている。この点について言えば、供試体 IV の耐力は、供試体 II の剪断耐力に、供試体 III の耐力の一部が増強されたものと思われる。そこで、今後明らかにしなければならない点として、まず供試体 III のような、ねじりモーメントを受ける場合の耐力機構を明白にし、それぞれ、剪断耐力と合成される場合の強度発現機構を解明することである。

4 謝辞

本研究は、文部省科学研究費 555182 により、都立大学土木材料実験室において行なった。実験を行なうに際し、協力していただいた、都立大学学生、石川省、高井達也、並びに都立大学大学院の広中良和の名義に、厚く御礼申上げる。

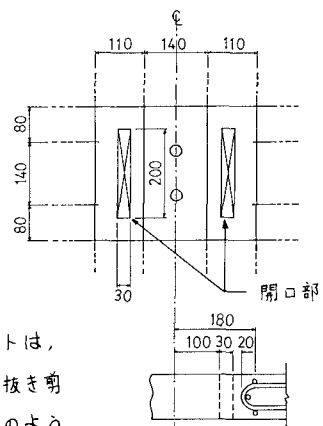


図-5 開口部付近の配筋図

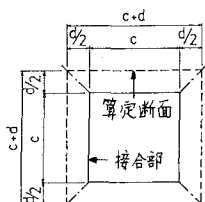


図-6 算定断面

表-1 実測値及び計算値

*: ACI 規準を応用して計算

** 算定断面と等断面の梁として計算

供試体番号	実測荷重 $P_m (\text{kg})$	実測モーメント $M_m (\text{kg} \cdot \text{m})$	圧縮強度 $f_c (\text{kg/cm}^2)$	計算値 $M_c (\text{kg} \cdot \text{m})$	実測値/計算値
I	4.3		180	$R = 4.26 \text{ t}$	1.01
II	2.2	2.64	180	$M_c = 2.56 \text{ t} \cdot \text{m}$	1.03
III	1.0	1.20	170	$M_c = 0.27 \text{ t} \cdot \text{m}$	4.44
IV	2.7	3.24	180	$M_c = 4.38 \text{ t} \cdot \text{m}$	0.74

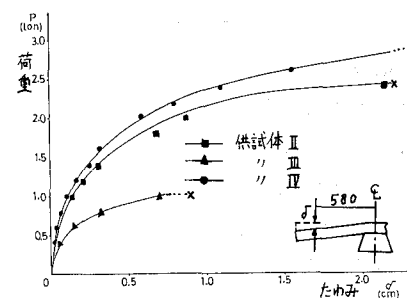


図-7 荷重たわみ曲線